



#075 ESTABILIDADE PRIMÁRIA DOS MINI-IMPLANTES



primária

mecânica

densidade óssea
volume de cortical
design do DAT
força aplicada
contato com LP
deflexão proc. alveolar

**primeiros
dias**

secundária

biológica

biocompat.
biofilme
higiene

**segunda
semana
em diante**



11% a 30%
Kravitz, 2007

7.5%
Sniper

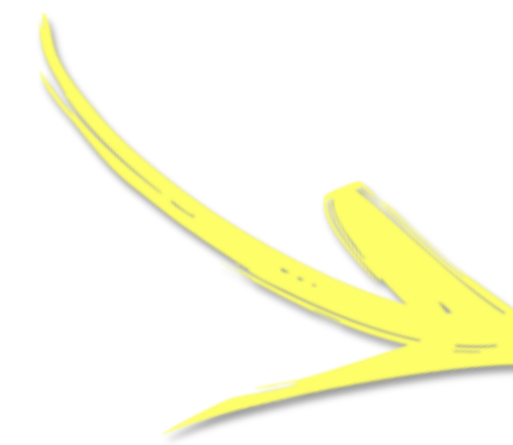


**auto
rosqueantes**

ou
**auto
perfurantes**



cilíndricos



cônicos

Research Article

Primary Stability of Self-Drilling and Self-Tapping Screws in Tibia of Diabetes-Induced Rabbits

revista
Matéria

ISSN 1517-7076

J. Maxillofac. Oral Surg. (Jan-Mar 2012) 11(1):29–33
DOI 10.1007/s12663-011-0240-y

RESEARCH PAPER

A Comparitive Clinical Study Between Self Tapping and Self Drilling Screws as a Source of Rigid Orthodontic Anchors

Nishant Gupta · S. M. Kotrashetti ·
Vijay Naik

Self-Drilling

> %BIC

> Bone Density

< stress apical

< danos térmicos

< tempo operatório

< fragmento ósseo

< morbidade

< desconforto

tuber

maxila posterior



TAMANHO

10.0 X 2.0 mm
1.5 mm



CABEÇA

Botão



ANGULAÇÃO

90°
contra-ângulo



MECÂNICA

Distalização molar



SÉRGIO CURY

safezones

DENSIDADE

SÉR

7-6 : **845 HU**

6-5 : **719 HU**

5-4 : **855 HU**

Tuber : **467 HU**

Choi et al. 2009

JRTO AST



failure rate

Tuber : **26.3 %**

Inexperientes : **42.1 %**

Interradiculares : **13.5 %**

Alharbi et al. 2018

Azeem et al. 2019







SÉRGIO CURY SÉRGIO CURY

11 mm

1.10 cm

Ti 10 x 2 x 1.5

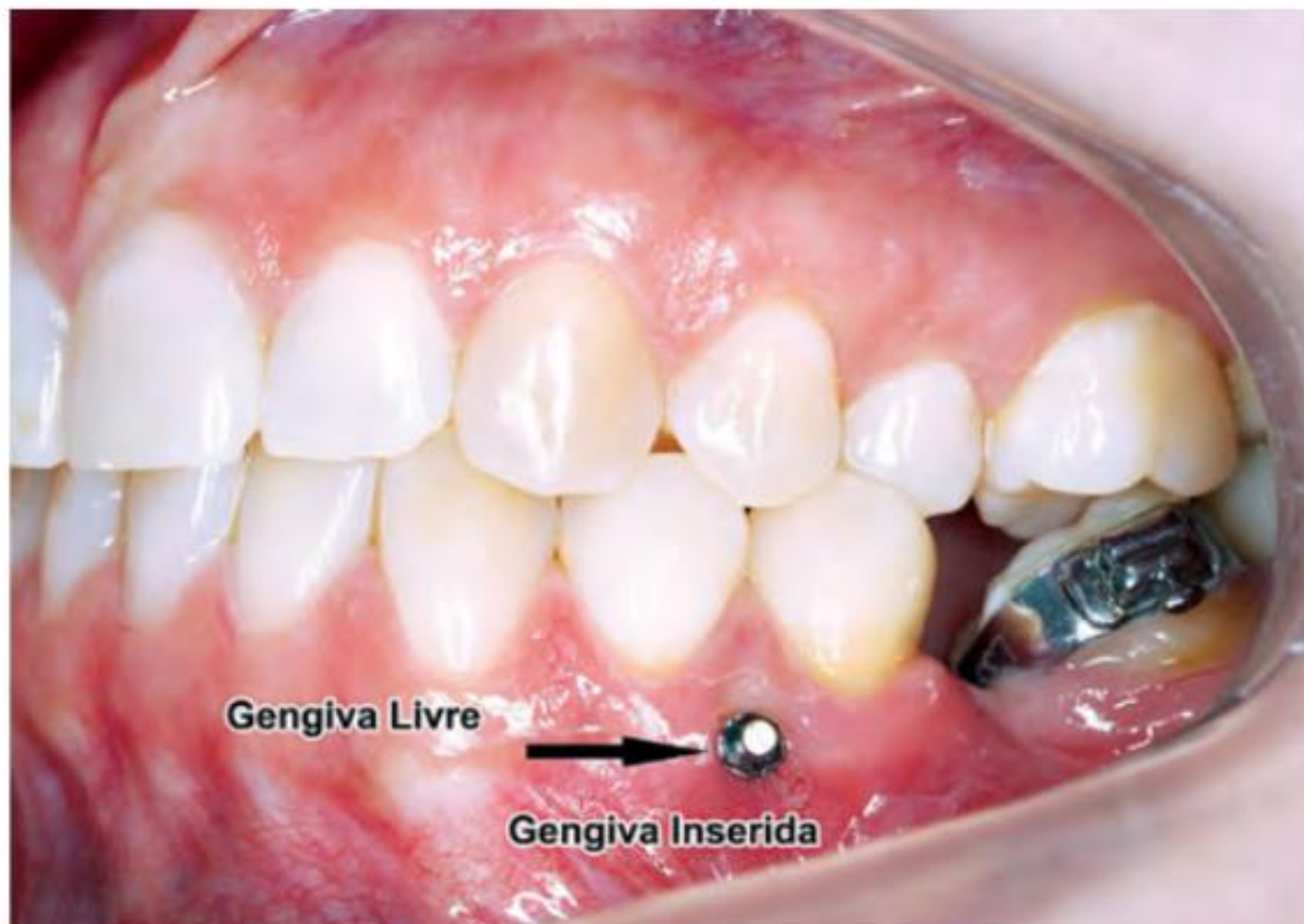


Figura 6 - Implantação adequada do mini-implante.

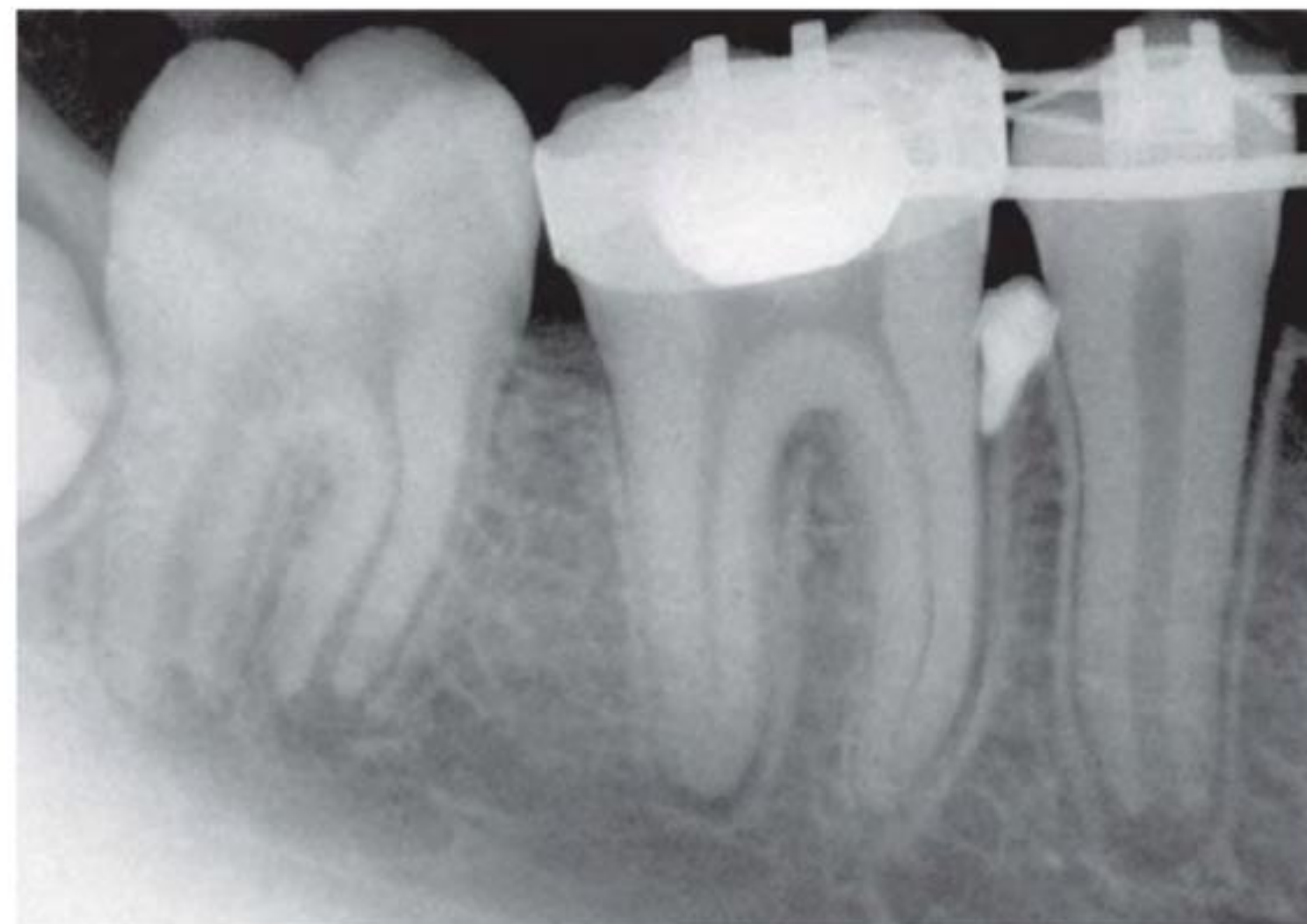


Figura 7 - Mini-implante instalado no ligamento periodontal.